

京都大学 工学部 正員 林津家久

1. まえがき

近年のレーザ流速計の進歩はすばらしく、水理・水工学の分野でも実用化の段階に入ったものと考えられる。従来からの乱流計測器である熱線・熱膜流速計に比べて、①流れ場にプローブを挿入しないから流れを攪乱しない②流速検定がまったく不要で、ドップラ周波数から流速が直接計算されるなど大きな利点がある。特に、水流計測では<sup>1)</sup>熱膜流速計が水中に浮遊した気泡やゴミ等の付着の影響、水温変化の影響を受けやすく、またプローブの破損の心配があり、かなりの慎重さを要するのに対し、レーザ流速計にはこの欠点はなく、長時間の乱流計測を安定にしかも高精度に行うことができる。

最近、雨水路流れの三次元流況の解明が注目されているが、一般にその2次流成分は主流速の数%のオーダであり、<sup>2)</sup>流れへの方向感覚特性が検定なしで正確に求まるレーザ流速計の使用が不可欠である。筆者は、カールスルーエ大学水理研究所で、雨水路流れの三次元乱流構造に関する実験的研究に従事し、これに不可欠な高精度に2成分流速計測が可能なレーザ流速計システムを開発した。本報告は、この計測システムを紹介するものである。

2. 光学系 光学系は前方散乱型と後方散乱型に大別される。前者は図-3に示すようにレーザ発光部と受光部(ストマリ)が水路を挟んで反対側にあり、強い散乱光が得られるから一般に高出力レーザ(例えは15mW He-Ne)でも十分である。一方、後者は、レーザ発光部と受光部とが同一側にあり、光学系のセットは容易でしかも水路壁が片面のみ透明であればよいから、多様な実験ができる。しかし、後方散乱光は前方散乱光に比べて $1/100 \sim 1/1000$ 倍弱く、高出力のアルゴンレーザが不可欠である。2Wの後方散乱レーザ流速計を使って噴流を計測した所、散乱光のバースト信号(図-2)のSN比は悪く、しかも発生個数が少ないため周波数トラッカを使用してドップラ周波数 $f_d$ を求みると、かなりの誤差を生じた。離散的に発生するバースト信号を個々に統計処理すれば(図-1)、計測精度はかなり向上するが、2成分計測では同時に発生する2方向のバースト個数はさらに少なく、計測に長時間要した。三次元乱流構造の解明には、計測点が多く、しかも高精度を必要とするから、後方散乱型は不適当と判断され、図-3のように前方散乱型に改造した。アルゴンレーザを青と緑の2組のビームに分光し、各組はさらに2本のビームに分光して計4本のビームはそれぞれブラックセル(周波数シフトを行う)を通して計測点で焦点させ、2成分同時計測を行った。

3. 信号処理システム(図-1) 受光部の出力をバンド・パス・フィルターにかけると散乱粒子のバースト信号(図-2)が得られ、この周波数 $f_d$ を求ると、 $\tilde{f}_d = (\lambda/25\sin\phi)(f_d - f_s)$  で流速 $\tilde{U}$ が計算される(ここで、 $\lambda$ はレーザの波長、 $\phi$ はビーム交叉半角、 $f_s$ はシフト周波数)。 $\tilde{f}_d/\Delta f$ 変換を用いたトラッカ法は流速波形が得られ、その利点は大きいが、バーストの発生が連続的でないヒドロップアウトを起こし、高精度のデータが期待できない。単に、平均流速 $\bar{U}$ 、乱れ強度 $u'$ など長時間乱流平均量のみが必要とされる場合は、個々のバースト信号から $f_d$ を求めた方がよい。本研究では、Tropacが開発したゼロ・クロス法<sup>3)</sup>を2成分計測に拡張して図-2のように行った。すなわち、バースト信号をA/D変換し(1024点)，波形を記録する。バースト判定用の2つの

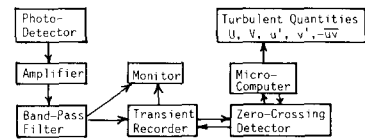


図-1 信号処理システム

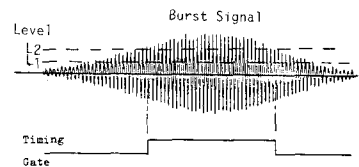


図-2 バースト信号のゼロ・クロス法

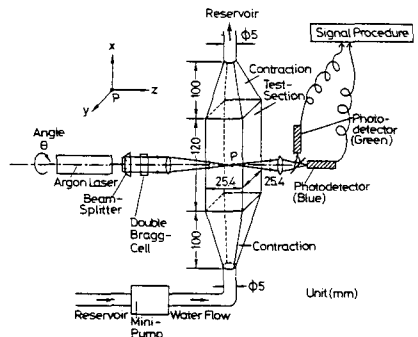


図-3 実験装置とレーザ光学系

しきい値 $L_1, L_2$ を設け、 $L_2$ を越えたときゼロ・クロスをカウントしてその時間経過から $f_0$ を求める。データのマイコンへの転送時間はバースト当たり約0.8msであり実時間化が可能である。ここでは、 $L_1, L_2$ を最大振幅のそれで25%, 50%に設けた。バースト解析個数 $N$ は1500個で、そのサンプル平均から乱流統計量が得られた。これに要する計測時間は、散乱粒子の濃度に左右されますが、1成分、2成分計測でそれぞれ約3分間及び6分間程度であった。

4. 実験装置 以上の光学系及び信号処理システムの妥当性を検討するため、図-3に示す $25.4\text{mm} \times 25.4\text{mm}$ 断面の小型管路流を用いて実験を行った。レーザビーム面は光軸(3軸)のまわりに回転でき、流れへの方向感度特性が詳細にチェックされた。

5. 実験結果 (1)方向特性 計測点Pを管中央軸上に正確にセットし、光軸を $\theta=10^\circ$ ずつ回転させ、青及び緑のビームの $f_0$ から流速 $U_b, U_g$ がそれぞれ求められ、図-4に示した。X, Y軸の流速 $U_x, U_y$ は、

$$U_b = U_{co} \cos \theta + V \sin \theta, \quad U_g = U_{co} \sin \theta - V \cos \theta \quad (1)$$

と表わされ、図-4に示すように実験値と式(1)はよく一致する。周波数シフタを使用しているから、ゼロ流速及び負流速を正確に計測され、注目される。 $\theta=0^\circ, 90^\circ, 180^\circ, 270^\circ$ の4角度計測から、U, Vの平均値は $U=3.09\%$ ,  $V=0.093\%$ 、その相対誤差はそれぞれ4%, 9%であった。図-5に乱れ変動のrms値を示す。管中央軸上ではレイルズ応力 $u'v'$ はゼロだが、  
 $u'_b = \sqrt{U^2 \cos^2 \theta + V^2 \sin^2 \theta}, \quad u'_g = \sqrt{U^2 \sin^2 \theta + V^2 \cos^2 \theta} \quad (2)$

となり、図-5に示した。図-4に比べてバラつきが若干大きいが、式(2)はよく実験値と一致する。同様に4角度計測から、 $u'=0.725\%$ ,  $v'=0.675\%$ 、相対誤差はそれぞれ5%, 3%であった。

(2) 流速分布の計測例  $\theta=45^\circ$ (テストA),  $\theta=-90^\circ$ (テストB)にセットして $y=1\text{mm}$ 间隔ごとに流速分布を計測した。図-6に $(U, V)$ の分布を示す。レイルズ数 $Re=800$ の未発達の遷移流れであり、理論解と比較できないが、両テストともほぼ同じ結果である。しかし、 $u, v, w$ を参考にすると、テストAの方がよりバラつきが小さかった。これは、テストAでは $U_b \approx U_g$ となり、 $f_0$ が両ビームでほぼ等しく、図-1の信号処理の調節が良好であるが、テストBでは $V=-U_b \approx 0$ となり、周波数シフタのゆるやかなドリフトを受けやすいためである。また、Z軸方向に計測点を移動すると(テストC)、 $u, v, w$ が求められる。以上から得られた $u, v, w$ を図-7に、レイルズ応力を図-8に示す。境界層厚 $\delta$ を最大流速の99%にすればなく $u' > w > v$ の壁面近傍の特性、 $y > \delta$ のコア部で $u' \approx w \approx v'$ の等方性乱流の特性が見られる。本実験のビーム交叉点の計測体積は $\Delta x = \Delta y = 0.13\text{mm}$ ,  $\Delta z = 1.5\text{mm}$ であり、テストCの結果がバラつくのは $\Delta z$ がかなり大きく点計測できないためと考えられる。

6. あとがき 本実験では低流速の領域に限られたが、 $f_0$ を調節すれば $1\text{m/s}$ 以上の高流速でも同構造で計測でき、3次元乱流場の計測が可能となった。

参考文献 1)木津津和, 18回流れの計測討論会, 1982, 2) Nezu, Nakagawa, ASCE, J. Hydr. Eng., pp.193-193, 1984.  
 3) Tropea, SFB 80/ME/152, Univ. of Karlsruhe, 1980.

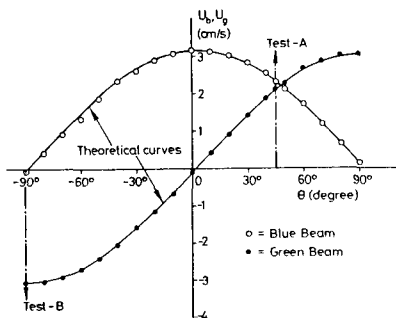


図-4 平均流速の方向感度特性

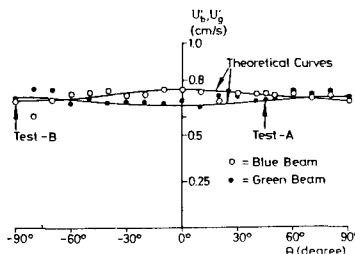


図-5 乱れ強度の方向感度特性

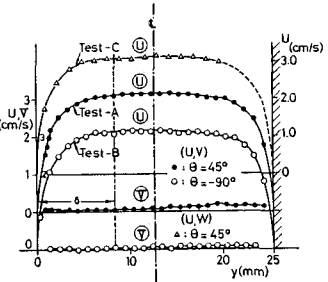


図-6 平均流速分布の計測例

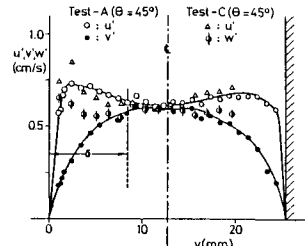


図-7 乱れ強度分布

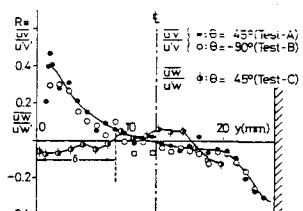


図-8 レイルズ応力分布